

---

ФИЗИКА И ТЕХНИКА УСКОРИТЕЛЕЙ

---

## ИССЛЕДОВАНИЕ УСЛОВИЙ ПРОИЗВОДСТВА $^{192}\text{Ir}$ НА УСКОРИТЕЛЕ ЭЛЕКТРОНОВ

*А. Н. Довбня, Ю. В. Рогов, А. Э. Тенишев, А. В. Торговкин,  
В. Л. Уваров<sup>1</sup>, В. А. Шевченко, Б. И. Шраменко*

Национальный научный центр  
«Харьковский физико-технический институт», Харьков, Украина

Обсуждаются условия получения изотопа  $^{192}\text{Ir}$  по безреакторной технологии на основе реакции  $^{193}\text{Ir}(\gamma, n)^{192}\text{Ir}$ . Ее можно реализовать путем облучения мишени из природного иридия потоком высокоэнергетического тормозного излучения ускорителя электронов. Показана возможность увеличения фотоядерного выхода целевого изотопа путем подключения реакции  $^{191}\text{Ir}(n, \gamma)^{192}\text{Ir}$  на замедленных фотонейтронах. Для этого конвертер тормозного излучения и мишень помещают внутри модератора нейtronов. Экспериментально и методом компьютерного моделирования получены данные по выходу  $^{192}\text{Ir}$  и примесей при использовании модератора нейtronов и без него.

The communication deals with the conditions of the  $^{192}\text{Ir}$  isotope production under a non-reactor technology via the  $^{193}\text{Ir}(\gamma, n)^{192}\text{Ir}$  reaction. It can be realized by irradiation of a target from natural iridium with high-energy X-ray of an electron accelerator. A possibility to increase the photonuclear yield of the target isotope by addition of the  $^{191}\text{Ir}(n, \gamma)^{192}\text{Ir}$  reaction induced by moderated photoneutrons has been shown. For this, an X-ray converter and a target were placed inside a neutron moderator. The data on the  $^{192}\text{Ir}$  and admixture yields for the techniques using the moderator and without it have been obtained by a computer simulation and experimentally.

PACS: 07.85.-m; 81-40wx; 87.53-j

### ВВЕДЕНИЕ

Радионуклидные источники на основе изотопа  $^{192}\text{Ir}$  ( $T_{1/2} = 73,8$  сут;  $E_\beta = 0,67$  МэВ;  $\bar{E}_\gamma = 380$  кэВ) используются в медицине (брехитерапия опухолей) и промышленности (гамма-дефектоскопия). Этот изотоп производят главным образом в ядерных реакторах по реакции  $^{191}\text{Ir}(n, \gamma)^{192}\text{Ir}$ . В качестве мишеней используют соединение  $\text{Na}_2\text{IrCl}_6$  [1] или иридиевую проволоку [2]. Для производства  $^{192}\text{Ir}$  без носителя было также предложено использовать циклотронный метод на основе реакции  $^{192}\text{Os}(p, n)^{192}\text{Ir}$  [3].

---

<sup>1</sup>E-mail: uvarov@kipt.kharkov.ua

Как известно, природный иридий состоит из двух стабильных изотопов:  $^{193}\text{Ir}$  (62,7 %) и  $^{191}\text{Ir}$  (37,3 %). Ранее была показана принципиальная возможность получения  $^{192}\text{Ir}$  по реакции  $^{193}\text{Ir}(\gamma, n)^{192}\text{Ir}$ , имеющей порог 7,8 МэВ [4]. Поток высокоэнергетических фотонов можно получать на относительно недорогих ускорителях электронов путем конвертирования их пучка в тормозное  $X$ -излучение. Этот процесс может быть реализован как в отдельном устройстве-конвертере, так и непосредственно в самой изотопной мишени. При этом область конверсии  $e \rightarrow X$  в результате происходящих в ней  $(\gamma, n)$ -реакций является также квазизотропным источником нейтронов. Например, при использовании tantalа в качестве материала конвертера основной такой реакцией является  $^{181}\text{Ta}(\gamma, n)^{180m}\text{Ta}$ . Величина потока фотонейтронов составляет  $\sim 10^{12} \text{ с}^{-1}$  на каждый киловатт мощности пучка электронов [5]. Таким образом, при фотоядерном производстве  $^{192}\text{Ir}$  появляется возможность увеличения его выхода в мишени из природного иридия за счет добавления реакции радиационного захвата фотонейтрона ядром  $^{191}\text{Ir}$ . Поскольку ее сечение возрастает от  $\sim 100 \text{ мб}$  при энергии нейтронов  $\sim 100 \text{ кэВ}$  до  $\sim 10^3 \text{ б}$  в тепловой области, было предложено поместить конвертер и мишень внутрь модератора нейтронов.

В работе исследован выход  $^{192}\text{Ir}$  и основных примесей в природном иридии, а также их зависимость от условий облучения мишени на ускорителе электронов.

## 1. МИШЕННОЕ УСТРОЙСТВО

Для измерения выхода  $^{192}\text{Ir}$  при облучении мишени смешанным  $X, n$ -излучением с модератором нейтронов и без него было разработано выходное устройство, схема которого приведена на рисунке. Устройство включает патрубок 1 из алюминия, соосный с пучком электронов ускорителя А. В патрубке 1 размещены конвертер тормозного излучения С и мишень Т. Конвертер состоит из четырех tantalовых пластин диаметром 30 мм и толщиной 1 мм каждая, разделенных такими же воздушными промежутками для охлаждения. Мишенное устройство включает находящиеся в алюминиевой обойме 3 фиксирующие диски 4, 8 из алюминия диаметром 20 мм и толщиной 3 мм каждый с помещенными между ними фольгой-монитором 5 из молибдена толщиной 0,1 мм и шайбой 6 из алю-

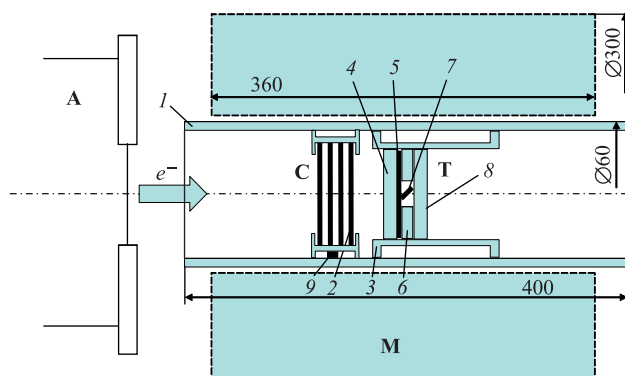


Схема выходного устройства

миния толщиной 3 мм с отверстием диаметром 6 мм, в котором размещалась мишень 7 (отрезок иридиевой проволоки диаметром 0,2 мм).

Контроль флюенса высокоэнергетических фотонов на основной мишени 7 производился по выходу референтных реакций в фольге-мониторе 5. Так, природный молибден включает семь стабильных изотопов, в том числе  $^{92}\text{Mo}$  (14,84 %),  $^{98}\text{Mo}$  (24,13 %) и  $^{100}\text{Mo}$  (9,63 %). При активации мишенного устройства на каждый из них действует смешанный поток тормозных фотонов и нейтронов. Флюэнс фотонов можно оценить по выходу  $^{90}\text{Mo}$  ( $T_{1/2} = 5,7$  ч) из реакции  $^{92}\text{Mo}(\gamma, 2n)^{90}\text{Mo}$ , поскольку  $^{90}\text{Mo}$  может нарабатываться только в этом канале. В свою очередь, изотоп  $^{99}\text{Mo}$  ( $T_{1/2} = 66,02$  ч) может генерироваться сразу в двух реакциях:  $^{100}\text{Mo}(\gamma, n)^{99}\text{Mo}$  и  $^{98}\text{Mo}(n, \gamma)^{99}\text{Mo}$ . Таким образом, сопоставление выходов  $^{90}\text{Mo}$  и  $^{99}\text{Mo}$ , нормированных по заряду пучка электронов на конвертере, позволяет производить оценку вклада каждого из каналов.

Для измерения выхода изотопов в условиях совместного воздействия тормозного излучения и замедленных фотонейtronов патрубок с конвертером и мишенью помещался внутри модератора М. Его детальное описание приведено в работе [6].

## 2. УСЛОВИЯ ЭКСПЕРИМЕНТА

Облучение мишеней производилось на ускорителе ЛУ-40 ННЦ ХФТИ [7] в течение 2 ч при энергии электронов 40 МэВ, длительности импульса пучка 1,5 мкс, частоте следования импульсов 50 Гц и среднем токе пучка 4 мА. Профиль пучка на конвертере соответствовал распределению Гаусса с шириной на полувысоте 1,2 см. Ширина энергетического спектра пучка на полувысоте не превышала 2 %. После каждой экспозиции мишени выдерживались в течение 24 ч для спада наведенной активности, обусловленной короткоживущими примесями, а затем извлекались из выходного устройства и переносились в лабораторию для проведения измерений.

Определение активности изотопов в образцах проводилось гамма-спектрометром на основе детектора Canberra HPGe с анализатором InSpector-2000 и программным обеспечением Genie 2000. Относительная эффективность регистрации детектором 20 % и энергетическое разрешение 1,8 кэВ при энергии фотонов 1332 кэВ (Со-60). Погрешность определения удельной активности изотопов находилась в пределах 7–10 %. Полученные данные нормировались на величину заряда пучка электронов при активации мишени.

Независимый анализ процессов фотоактивации мишени проводился методом моделирования на основе модифицированного транспортного кода PENELOPE-2008 [8]. Сечения реакций были заимствованы из базы данных [9]. Моделирование процессов активации нейтронами не проводилось.

## 3. РЕЗУЛЬТАТЫ И ОБСУЖДЕНИЕ

В табл. 1 приведены данные по выходу изотопов в иридии и фольгах-мониторах, полученные методом моделирования и экспериментально для режимов активации мишеней без модератора (Ir-7/1, Mo-5/1) и с модератором (Ir-7/2, Mo-5/2). В последнем случае в точке выходного устройства 9 (см. рисунок) размещался еще один образец иридия (Ir-9)

так, что расстояние от него до оси пучка соответствовало расстоянию образца Ir-7/2 до конвертера (см. рисунок). Таким образом, если на образцы Ir-7/1, Ir-7/2 действовал поток смешанного  $X, n$ -излучения с испарительным и отплененным спектрами фотонейтронов соответственно, то на Ir-9 — преимущественно только фотонейтроны.

Анализ данных табл. 1 показывает, что результаты моделирования и эксперимента по выходу изотопов в фотоядерных каналах генерации  $^{192}\text{Ir}$ ,  $^{190}\text{Ir}$  и  $^{90}\text{Mo}$  удовлетворительно согласуются. Увеличение выхода  $^{192}\text{Ir}$  ( $\sim$  на 50 %) и  $^{99}\text{Mo}$  ( $\sim$  на 10 %) в схеме с модератором можно объяснить вкладом реакций радиационного захвата замедленных нейтронов на изотопах  $^{191}\text{Ir}$  и  $^{98}\text{Mo}$  соответственно. Вместе с тем сравнение полученных значений для  $^{192}\text{Ir}$ ,  $^{190}\text{Ir}$  и  $^{194}\text{Ir}$  в мишениях Ir-7/2 и Ir-9 показывает пре-вышение ожидаемого выхода изотопов  $^{192}\text{Ir}$  и  $^{194}\text{Ir}$  на оси излучения, находящееся за пределами погрешности измерений. Возможным объяснением является возбуждение тормозными фотонами в иридии короткоживущих низколежащих изомерных состояний, сечения  $(n, \gamma)$ - и  $(\gamma, n)$ -реакций которых существенно возрастают. В частности, наличие подобного уровня с энергией возбуждения 6,24 кэВ обнаружено в ядре  $^{181}\text{Ta}$  [10]. Следует при этом отметить, что длительность банча пучка ускорителя ЛУ-40 составляет  $\sim 1$  пс. Таким образом, импульсное значение плотности потока надпороговых тормозных фотонов на мишени  $\sim 10^{19} \text{ см}^{-2} \cdot \text{с}^{-1}$ , а фотонейтронов  $\sim 10^{15} \text{ см}^{-2} \cdot \text{с}^{-1}$ .

**Таблица 1. Нормированный выход изотопов в элементах мишеннего устройства**

Мишень	Изотоп	$T_{1/2}$ , сут	Реакция получения	Выход, мкКи/г · мкА · ч	
				Результаты моделирования	Результаты эксперимента
Ir-7/1	$^{192}\text{Ir}$	73,8	$^{193}\text{Ir}(\gamma, n)^{192}\text{Ir}$	2,26	2,06
	$^{190}\text{Ir}$	11,8	$^{191}\text{Ir}(\gamma, n)^{190}\text{Ir}$	8,27	8,14
	$^{194}\text{Ir}$	0,8	$^{193}\text{Ir}(n, \gamma)^{194}\text{Ir}$	—	0,26
Ir-7/2	$^{192}\text{Ir}$	73,8	$^{193}\text{Ir}(\gamma, n)^{192}\text{Ir}$	2,26	3,27
	$^{190}\text{Ir}$	11,8	$^{191}\text{Ir}(n, \gamma)^{192}\text{Ir}$	—	11,83
	$^{194}\text{Ir}$	0,8	$^{191}\text{Ir}(\gamma, n)^{190}\text{Ir}$	8,27	6,06
Ir-9	$^{192}\text{Ir}$	73,8	$^{191}\text{Ir}(n, \gamma)^{192}\text{Ir}$	—	0,39
	$^{190}\text{Ir}$	11,8	$^{191}\text{Ir}(\gamma, n)^{190}\text{Ir}$	—	0,12
	$^{194}\text{Ir}$	0,8	$^{193}\text{Ir}(n, \gamma)^{194}\text{Ir}$	—	4,54
Mo-5/1	$^{99}\text{Mo}$	2,75	$^{100}\text{Mo}(\gamma, n)^{99}\text{Mo}$	4,69	5,06
	$^{90}\text{Mo}$	0,24	$^{98}\text{Mo}(n, \gamma)^{99}\text{Mo}$	—	1,64
Mo-5/2	$^{99}\text{Mo}$	2,75	$^{92}\text{Mo}(\gamma, 2n)^{90}\text{Mo}$	1,56	1,48
	$^{90}\text{Mo}$	0,24	$^{100}\text{Mo}(\gamma, n)^{99}\text{Mo}$	4,69	5,48
			$^{98}\text{Mo}(n, \gamma)^{99}\text{Mo}$	—	
			$^{92}\text{Mo}(\gamma, 2n)^{90}\text{Mo}$	1,56	

## ЗАКЛЮЧЕНИЕ

В табл. 2 приведены результаты сравнительного анализа производительности различных технологий получения  $^{192}\text{Ir}$ . Видно, что в отношении удельной активности реакторный метод обладает явным преимуществом. Циклотронная технология даже при мощном пучке протонов не обеспечивает достаточный выход изотопного продукта.

*Таблица 2. Сравнительный анализ различных технологий производства  $^{192}\text{Ir}$*

Установка	Параметры установки	Мишень	Основная реакция	Сечение, б	Выход, МБк/ч	Удельный выход, МБк/ч · г
Реактор [1]	$1,5 \cdot 10^{13}$ см $^{-2} \cdot \text{с}^{-1}$	$\text{Na}_2\text{IrCl}_6$ ; Ir-проводолка	$^{191}\text{Ir}(n, \gamma)$ $^{192}\text{Ir}$	954	74	> 1000
Циклотрон [3]	$16 \rightarrow 8$ МэВ, 600 мкА	$^{192}\text{Os}$	$^{192}\text{Os}(p, n)$ $^{192}\text{Ir}$	0,06	185	Без носителя
Ускоритель электронов [12]	40 МэВ, 250 мкА	Ir-конвертер 4 мм [11]	$^{193}\text{Ir}(\gamma, n)$ $^{192}\text{Ir}$	0,5	740	> 10
		Ta-конвертер 4 мм, Ir-мишень 2 × 2 см [4]	$^{193}\text{Ir}(\gamma, n)$ $^{192}\text{Ir}$	0,5	~ 600	~ 4
		Ta-конвертер 4 мм, Ir-мишень 2 × 2 см, модератор нейтронов	$^{193}\text{Ir}(\gamma, n)$ $^{192}\text{Ir}$ $^{191}\text{Ir}(n, \gamma)$ $^{192}\text{Ir}$	0,5 ~ $10^3$	~ 900	~ 6

В свою очередь, производство  $^{192}\text{Ir}$  на ускорителе электронов может быть реализовано с использованием различных вариантов выходного устройства: по традиционной схеме с конвертером (например, из tantalа) и изотопной мишенью [4], непосредственно в конвертере из иридия с одновременной наработкой других изотопов в размещенных за конвертером мишенях [11], а также с использованием модератора нейтронов.

Таким образом, по сравнению с реакторной фотоядерной технология обеспечивает получение большего выхода  $^{192}\text{Ir}$ , но при меньшей его удельной активности и более высоком уровне примесей в основном  $^{190}\text{Ir}$ . Их содержание можно снизить более чем на порядок величины путем оптимизации режима «активация–охлаждение» мишени, а также при использовании иридия, обогащенного по изотопу  $^{193}\text{Ir}$ .

## СПИСОК ЛИТЕРАТУРЫ

1. Ananthakrishnan M. Iridium-192 // Manual for Reactor Produced Radioisotopes. IAEA-TECDOC-1340. 2003. P. 116.
2. Schaeken B. et al.  $^{192}\text{Ir}$  Brachytherapy Sources in Belgian Hospitals // Nucl. Instr. Meth. A. 1992. V. 312. P. 251–256.
3. Hilgers K., Sudar S., Qaim S. M. Experimental Study and Nuclear Model Calculations on the  $^{192}\text{Os}(p, n)^{192}\text{Ir}$  Reaction: Comparison of Reactor and Cyclotron Production of the Therapeutic Radionuclide  $^{192}\text{Ir}$  // Appl. Rad. Isot. 2005. V. 63. P. 93–98.

4. Nikiforov V. I., Uvarov V. L. Method for Estimation of Isotope Yield in a Thick Target under Photonuclear Production // Nucl. Instr. Meth. B. 2011. V. 269. P. 3149–3152.
5. Малыхина Т. В. и др. Исследование поля смешанного  $X, n$ -излучения при фотоядерном производстве изотопов // ВАНТ. Сер. «Ядерно-физ. исслед.». 2008. № 5(50). С. 184–188.
6. Uvarov V. L. et al. Two-Channel Mode of Mo-99 Production at an Electron Accelerator // Proc. of Conf. IPAC 2011, San Sebastian, Spain, 2011. P. 3627–3629.
7. Айзацкий Н. И. и др. Ядерно-физическй комплекс на основе линейного ускорителя электронов с энергией до 100 МэВ // ВАНТ. Сер. «Ядерно-физ. исслед.». 2010. № 2(53). С. 18–22.
8. Salvat F., Fernández-Varea J. M., Sempau J. PENELOPE-2008 a Code System for Monte-Carlo Simulation of Electron and Photon Transport. OECD Nucl. Ener. Agency. Issy-les-Moulineaux, France, 2008.
9. Handbook on Photonuclear Data for Applications. IAEA. TECDOC-1178. 2000.
10. Дикий Н. П. и др. Возбуждение низколежащего изомерного уровня ядра  $^{181}\text{Ta}$  релятивистскими электронами // ВАНТ. Сер. «Ядерно-физ. исслед.». 2013. № 3(60). С. 175–178.
11. Довбня А. Н., Никифоров В. И., Уваров В. Л. Концепция мультиизотопного производства на базе ускорителя электронов // Письма в ЭЧАЯ. 2012. Т. 9, № 4–5(174–175). С. 706–711.
12. Айзацкий Н. И. и др. Мощный линейный ускоритель электронов с энергией до 40 МэВ // ВАНТ. Сер. «Ядерно-физ. исслед.». 2008. № 3(49). С. 25–29.